

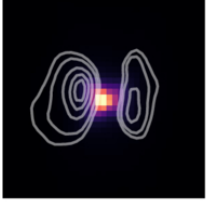
Figure 12. from

W. Blake Drechsler et al 2026 *Astrophys. J.* 1000 doi:10.3847/1538-4357/ae4a25

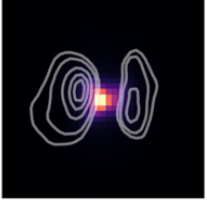
<https://dx.doi.org/10.3847/1538-4357/ae4a25>

© 2026. The Author(s). Published by the American Astronomical Society.

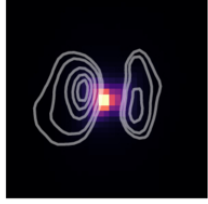
$m_{disk} = 0.0010 M_{\odot}$



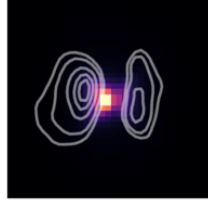
$m_{disk} = 0.0013 M_{\odot}$



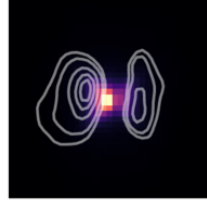
$m_{disk} = 0.0016 M_{\odot}$



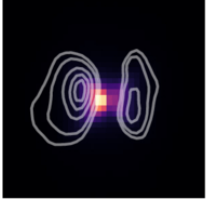
$m_{disk} = 0.0021 M_{\odot}$



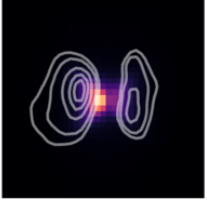
$m_{disk} = 0.0026 M_{\odot}$



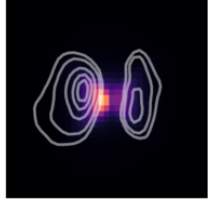
$m_{disk} = 0.0034 M_{\odot}$



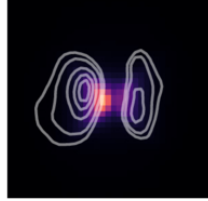
$m_{disk} = 0.0043 M_{\odot}$



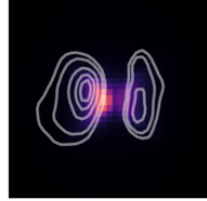
$m_{disk} = 0.0055 M_{\odot}$



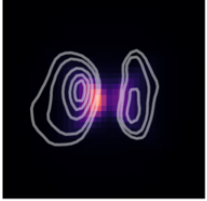
$m_{disk} = 0.0070 M_{\odot}$



$m_{disk} = 0.0089 M_{\odot}$



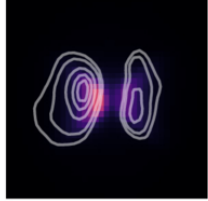
$m_{disk} = 0.0113 M_{\odot}$



$m_{disk} = 0.0144 M_{\odot}$



$m_{disk} = 0.0183 M_{\odot}$



$m_{disk} = 0.0234 M_{\odot}$



$m_{disk} = 0.0298 M_{\odot}$



$m_{disk} = 0.0379 M_{\odot}$



$m_{disk} = 0.0483 M_{\odot}$



$m_{disk} = 0.0616 M_{\odot}$



$m_{disk} = 0.0785 M_{\odot}$



$m_{disk} = 0.1000 M_{\odot}$



$m_{disk} = 0.2000 M_{\odot}$



$m_{disk} = 0.5000 M_{\odot}$

